

九州大学工学部、学生員、吉村 健、同応用力学研究所、正員、中村泰治

1. はじめに 前報⁽¹⁾に引きづき、インディシャル応答により吊橋断面に生じる振り子フリックの発生機構を明らかにした。振り子フリックが生じる、断面比が約1/10のH型およびト型断面模型を用いて、水槽実験によりインディシャルモーメントの計測によるヒヤウの模型近似の流れの観察を行った。

2. 振り子フリックの発生条件式⁽²⁾ まず、線形性の仮定のもとに、振り子フリックの発生条件式を導く。振り子自重の非定常変形モーメントを、周波数表示により、 $M[\theta(t)] = M_0 \cdot \dot{\theta} + M_1 \cdot \ddot{\theta}$ と表記すれば、 $M_0 > 0$ のときにフリックが生じる。一方、振り運動のインディシャルモーメント関数を用いれば、 $M_0 = \int_{0}^{\infty} g_0(\tau) \cos(\omega\tau - \theta_0) d\tau > 0$ …(1) を得る。ここで表すのは、山谷水面無次元の振動数と時間。充分ゆとりした振動($k=0$)を行なう場合には、式(1)は、 $M_0 = \int_{0}^{\infty} [g_0(\tau) - g_0(0)] d\tau > 0$ …(2) となる。また、振り運動を有効迎面運動と角速度運動(以下に以下と呼ぶ)に分解すれば、 $g_0(\tau) = g_0(0) + g_0(\tau) + g_0(0) \delta(\tau)$ が得られる。ここで表すのは山谷水面の運動のインディシャルモーメント関数。こらを式(2)に代入すれば、 $M_0 = (g_0(0) + \int_{0}^{\infty} [g_0(\tau) - g_0(0)] d\tau) > 0$ …(3) を得る。式(1)と式(2)(3)が、山谷水面一般的な振り子フリックの発生条件式である。

3. 実験結果 結果は式(1), (2)を満足するか、または対応する流れはいかほどのものか等を明らかにするために水槽実験を行なった。上記2断面いずれも定性的には同一結果であり、以下ではト型断面の結果のみを記す。(1). 静特性 $\theta_0 = 0^\circ$ や $\theta_0 = 3^\circ$ に対する $\theta(t)$ の変化を図1の初期モーメントで示す。溶質変化直後の大きめ頭上げモーメントの発生、それにその後の緩やかな減衰によって水管は特徴づけられた山形(山形は特徴づけられた山形)。この山形は明らかに式(2)を満足するし、すなはち式(1)において満足された。

(2). 離型性 $\theta_0 = 0^\circ$, $\theta_1 = 0.5^\circ \sim 6^\circ$ の各振り変位に対する水管をまとめたのが図2である。

ただし同図では、水管はすくいかけた勾配で近似した。微少変位に対して水管を線型近似できるとは限らない。

(3). 流れの流れ成分 図1の1管鋪込みである。

頭上げだけでは一致している。従て式(2)と(3)の積分値は同一であり、式(3)の $g_0(0)$ は無視しえる程度である。式(3)の $g_0(0)$ は準定常成分で、すなはち積分項は流れの(定常流れ)による(3)流れ成分を表すから、文献(3)で述べたように、振り子フリックの発生には後者の影響が圧倒的に大きいといえる。すなはち図1の破線で示す山形は、文献(3)で扱った他の流れの近似水管で水槽を行なつたものである。水管定性的に一致している。

(4). 流れの観察 図3は图1に対する流れの様子を示す。溶質変化直後に前線のブレードゲーターから出た漏(途中矢印)により、流れのパターンの変化は見取られていく。頭上げとともにすくいかけた流れは山形(山形は特徴づけられた山形)となり、この漏の発生は共通にみられた。これは図1の3つの水管の定性的一致により、特徴あるモーメントの発生はこの漏に原因があるものと考えられる。

4. 結論 振り子フリックの生じる断面のインディシャルモーメントは線型近似であり、こよりフリック発生条件式を満足す。すなはち、フリックの発生には流れの流れ成分が支配的で、溶質変化により前線から出た漏(漏)の発生原因があるものと考えられる。

参考文献 (1) 吉村・中村: 第30回土木学会年次学術講演会, (2) 土木学会集報稿掲載, (3) Nakamura, Miyata: Proc. ASCE, EH2, Apr., 1975

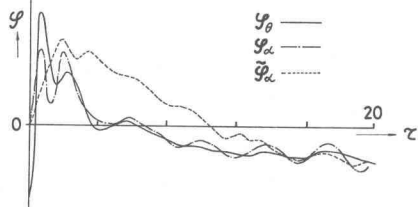


図1. ト型断面のインディシャルモーメント, $\theta_0=0^\circ$, $\theta_1=3^\circ$
($t=\sqrt{t}/6$, b: 間隔, 軸(t) = $\frac{g_0(t)}{g_0(0)}$, $R=2.5 \times 10^4$)

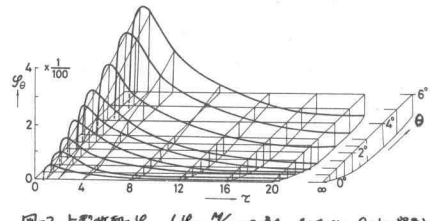


図2. ト型断面 g_0 , ($g_0 = \frac{M_0}{2\pi R^2 V^2}$, $t=2\pi r^2$, V : 水深)

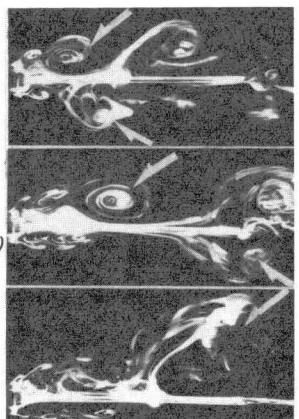


図3. ト型断面の流れに対する流れ.

($\theta_0=0^\circ$, $\theta_1=6^\circ$, $t=1.1, 2.8, 5.2$, $R=4000$)